

**В.П. ШИШОВ, Е.А. МАЗНЕВ**, Луганск, ВНУ им. В. Даля

**ГЕОМЕТРИЯ ЧЕРВЯЧНОЙ ПЕРЕДАЧИ С ВЫПУКЛО-  
ВОГНУТЫМ ПРОФИЛЕМ ВИТКОВ ЧЕРВЯКА И  
ИСКЛЮЧЕНИЕМ УЗЛОВЫХ ТОЧЕК ИЗ ЗАЦЕПЛЕНИЯ**

*In the article cylindrical worm coils surface formation at grinding of worm by grinding wheel with the convexo-concave structure containing a transitive section is considered. Fig. 4. Source 3.*

В приводах современных машин все более широкое распространение находят червячные передачи благодаря большому передаточному числу, небольшим размерам и плавности работы. Вопросы качества и долговечности червячных передач неразрывно связаны с вопросом совершенствования геометрии рабочих поверхностей червячной передачи. При этом необходимо помнить, что усложнение геометрии рабочих поверхностей не должно вести к усложнению технологии изготовления червячных передач, что будет в первую очередь сказываться на стоимости таких передач.

Наиболее простым технологическим способом, позволяющим достичь этого, является шлифование поверхностей витков червяка и фрезы. Данному вопросу посвящено много работ, в частности, работы Литвина Ф.Л. [1, 2]. Недостатком этих работ является рассмотрение червяков имеющих только вогнутый профиль витков червяка.

В связи с изложенным вопрос о геометрии червячной передачи с выпукло-вогнутым профилем витков червяка является актуальным и неразрывно связанным с вопросами улучшения качества червячных передач.

Рассмотрим не скорректированную цилиндрическую червячную передачу. Витки червяка, входящего в эту передача, получены шлифованием поверхности шлифовальным кругом, осевой профиль которого изображен на



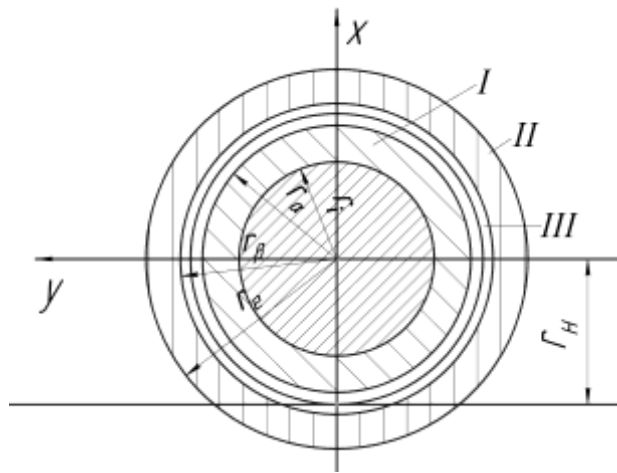


Рис. 2.

При шлифовании кругом с таким осевым профилем рабочая поверхность витков червяка будет состоять из трех областей (рис. 2):

- область I – формируется дугой  $\alpha - \alpha$  и имеет вогнутый профиль;
- область II – формируется дугой  $\beta - \beta$  и имеет выпуклый профиль;
- область III – переходная область, формируется участком  $\alpha - \beta$ , вводится для исключения узловых точек из зацепления, что приводит к повышению нагрузочной способности и КПД передачи.

При значении  $\alpha_1^* = \alpha_2^* = 0^\circ$  получим выпукло-вогнутый профиль витков червяка без переходного участка.

Уравнения зацепления (которые связывают между собой параметры  $\vartheta$  и  $\nu$  для области I и II, и параметры  $x_e^{III}$  и  $\nu$  для переходной области) выглядят следующим образом [3]:

- для областей I и II

$$F_1^i(\vartheta, \nu) = \sin \vartheta \left[ K \sin \nu + b_i \cos \nu \right] + \cos \vartheta \left[ d_i \cos \nu - A_u + r_o \right] = 0; \quad (4)$$

- для переходной области III

$$F_1^{III}(x_e^{III}, \nu) = x_e^{III} \cos \nu \left[ 1 + \text{tg}^2 \alpha_n \right] - K \text{tg} \alpha_n \sin \nu + \left[ A_u - r_o \right] - \cos \nu = 0. \quad (5)$$

Где  $K = A_u \text{ctg} \gamma_u + p$ ;  $b_i$  и  $d_i$  – начальные параметры ( $i = 1, 2$ ), равные:

$$b_1 = \rho_1 \cos \alpha_n + \sin \alpha_n \text{tg} \alpha_1^*, \quad d_1 = A_u - r_o - \rho_1 \left[ \sin \alpha_n - \cos \alpha_n \text{tg} \alpha_1^* \right],$$

$$b_2 = -\rho_2 \cos \alpha_n + \sin \alpha_n \operatorname{tg} \alpha_2^* , \quad d_2 = A_u - r_\delta + \rho_2 \sin \alpha_n - \cos \alpha_n \operatorname{tg} \alpha_2^* .$$

Используя матрицы перехода (88.4) и (87.3) [1], получим выражения для определения координат поверхности этих участков и проекций орта нормали в системе координат  $S_1$ , связанной с червяком:

- область I

$$\left. \begin{aligned} x_1^I &= -\rho_1 \sin \mathcal{G} + d_1 \cos \nu \cos \psi - \sin \nu \sin \psi \cos \gamma_u \\ &\quad - \rho_1 \cos \mathcal{G} - b_1 \sin \psi \sin \gamma_u + A_u \cos \psi; \\ y_1^I &= \rho_1 \sin \mathcal{G} + d_1 \cos \nu \sin \psi + \sin \nu \cos \psi \cos \gamma_u \\ &\quad - \rho_1 \cos \mathcal{G} - b_1 \cos \psi \sin \gamma_u - A_u \cos \psi; \\ z_1^I &= \rho_1 \sin \mathcal{G} + d_1 \sin \nu \sin \gamma_u + \rho_1 \cos \mathcal{G} - b_1 \cos \gamma_u - p\psi. \end{aligned} \right\} \quad (6)$$

$$\left. \begin{aligned} e_{x1}^I &= \sin \mathcal{G} \sin \nu \sin \psi \cos \gamma_u - \cos \nu \cos \psi - \cos \mathcal{G} \sin \psi \sin \gamma_u; \\ e_{y1}^I &= \sin \mathcal{G} \sin \nu \cos \psi \cos \gamma_u + \cos \nu \sin \psi - \cos \mathcal{G} \cos \psi \sin \gamma_u; \\ e_{z1}^I &= \sin \mathcal{G} \sin \nu \sin \gamma_u + \cos \mathcal{G} \cos \gamma_u. \end{aligned} \right\} \quad (7)$$

- область II

$$\left. \begin{aligned} x_1^{II} &= \rho_2 \sin \mathcal{G} - d_2 \cos \nu \cos \psi - \sin \nu \sin \psi \cos \gamma_u \\ &\quad + \rho_2 \cos \mathcal{G} + b_2 \sin \psi \sin \gamma_u + A_u \cos \psi; \\ y_1^{II} &= -\rho_2 \sin \mathcal{G} - d_2 \cos \nu \sin \psi + \sin \nu \cos \psi \cos \gamma_u \\ &\quad + \rho_2 \cos \mathcal{G} + b_2 \cos \psi \sin \gamma_u - A_u \cos \psi; \\ z_1^{II} &= -\rho_2 \sin \mathcal{G} - d_2 \sin \nu \sin \gamma_u - \rho_2 \cos \mathcal{G} + b_2 \cos \gamma_u - p\psi. \end{aligned} \right\} \quad (8)$$

$$\left. \begin{aligned} e_{x1}^{II} &= -\sin \mathcal{G} \sin \nu \sin \psi \cos \gamma_u - \cos \nu \cos \psi + \cos \mathcal{G} \sin \psi \sin \gamma_u; \\ e_{y1}^{II} &= -\sin \mathcal{G} \sin \nu \cos \psi \cos \gamma_u + \cos \nu \sin \psi + \cos \mathcal{G} \cos \psi \sin \gamma_u; \\ e_{z1}^{II} &= -\sin \mathcal{G} \sin \nu \sin \gamma_u - \cos \mathcal{G} \cos \gamma_u. \end{aligned} \right\} \quad (9)$$

- переходная область III

$$\left. \begin{aligned} x_1^{III} &= \rho_3^III - A_u + r_\delta \cos \nu \cos \psi - \sin \nu \sin \psi \cos \gamma_u - \operatorname{tg} \alpha_n \sin \psi \sin \gamma_u + A_u \cos \psi; \\ y_1^{III} &= -\rho_3^III - A_u + r_\delta \cos \nu \sin \psi + \sin \nu \cos \psi \cos \gamma_u - \operatorname{tg} \alpha_n \cos \psi \sin \gamma_u - A_u \sin \psi; \\ z_1^{III} &= -\rho_3^III - A_u + r_\delta \sin \nu \sin \gamma_u + \operatorname{tg} \alpha_n \cos \gamma_u - p\psi. \end{aligned} \right\} \quad (10)$$

$$\left. \begin{aligned} e_{x1}^{III} &= \sin \alpha_n \left[ \sin \nu \sin \psi \cos \gamma_u + \cos \nu \cos \psi \right] + \cos \alpha_n \sin \psi \sin \gamma_u; \\ e_{y1}^{III} &= -\sin \alpha_n \left[ \sin \nu \cos \psi \cos \gamma_u + \cos \nu \sin \psi \right] + \cos \alpha_n \cos \psi \sin \gamma_u; \\ e_{z1}^{III} &= -\sin \alpha_n \sin \nu \sin \gamma_u - \cos \alpha_n \cos \gamma_u. \end{aligned} \right\} (11)$$

Эти же поверхности в неподвижной системе координат определяются уравнениями [3]:

• область I

$$\left. \begin{aligned} x^I &= \cos \psi - \varphi_1 \left[ \rho_1 \sin \mathcal{G} - d_1 \cos \nu + A_u \right] + \\ &\quad + \sin \psi - \varphi_1 \left[ \rho_1 \sin \mathcal{G} + d_1 \sin \nu \cos \gamma_u - \rho_1 \cos \mathcal{G} - b_1 \sin \gamma_u \right]; \\ y^I &= -\sin \psi - \varphi_1 \left[ \rho_1 \sin \mathcal{G} - d_1 \cos \nu + A_u \right] + \\ &\quad + \cos \psi - \varphi_1 \left[ \rho_1 \sin \mathcal{G} + d_1 \sin \nu \cos \gamma_u - \rho_1 \cos \mathcal{G} - b_1 \sin \gamma_u \right]; \\ z^I &= \rho_1 \sin \mathcal{G} + d_1 \sin \nu \sin \gamma_u + \rho_1 \cos \mathcal{G} - b_1 \cos \gamma_u - p\psi. \end{aligned} \right\} (12)$$

$$\left. \begin{aligned} e_x^I &= -\sin \mathcal{G} \cos \nu \cos \psi - \varphi_1 + \sin \psi - \varphi_1 \sin \mathcal{G} \sin \nu \cos \gamma_u - \cos \mathcal{G} \sin \gamma_u; \\ e_y^I &= \sin \mathcal{G} \cos \nu \sin \psi - \varphi_1 + \cos \psi - \varphi_1 \sin \mathcal{G} \sin \nu \cos \gamma_u - \cos \mathcal{G} \sin \gamma_u; \\ e_z^I &= \sin \mathcal{G} \sin \nu \sin \gamma_u + \cos \mathcal{G} \cos \gamma_u. \end{aligned} \right\} (13)$$

• область II

$$\left. \begin{aligned} x^{II} &= \cos \psi - \varphi_1 \left[ \rho_2 \sin \mathcal{G} - d_2 \cos \nu + A_u \right] + \\ &\quad + \sin \psi - \varphi_1 \left[ \rho_2 \sin \mathcal{G} + d_2 \sin \nu \cos \gamma_u + \rho_2 \cos \mathcal{G} + b_2 \sin \gamma_u \right]; \\ y^{II} &= -\sin \psi - \varphi_1 \left[ \rho_2 \sin \mathcal{G} - d_2 \cos \nu + A_u \right] + \\ &\quad + \cos \psi - \varphi_1 \left[ \rho_2 \sin \mathcal{G} + d_2 \sin \nu \cos \gamma_u + \rho_2 \cos \mathcal{G} + b_2 \sin \gamma_u \right]; \\ z^{II} &= -\rho_2 \sin \mathcal{G} - d_2 \sin \nu \sin \gamma_u - \rho_2 \cos \mathcal{G} + b_2 \cos \gamma_u - p\psi. \end{aligned} \right\} (14)$$

$$\left. \begin{aligned} e_x^{II} &= \sin \mathcal{G} \cos \nu \cos \psi - \varphi_1 - \sin \psi - \varphi_1 \sin \mathcal{G} \sin \nu \cos \gamma_u - \cos \mathcal{G} \sin \gamma_u; \\ e_y^{II} &= -\sin \mathcal{G} \cos \nu \sin \psi - \varphi_1 - \cos \psi - \varphi_1 \sin \mathcal{G} \sin \nu \cos \gamma_u - \cos \mathcal{G} \sin \gamma_u; \\ e_z^{II} &= -\sin \mathcal{G} \sin \nu \sin \gamma_u - \cos \mathcal{G} \cos \gamma_u. \end{aligned} \right\} (15)$$

• область III

$$\left. \begin{aligned} x^{III} &= \cos \psi - \varphi_1 \left[ x_e^{III} + r_\delta \cos \nu + A_u \right] - \cos \nu \left[ \right. \\ &\quad \left. - \sin \psi - \varphi_1 \left[ x_e^{III} - A_u + r_\delta \sin \nu \cos \gamma_u + x_e^{III} \operatorname{tg} \alpha_n \sin \gamma_u \right] \right]; \\ y^{III} &= -\sin \psi - \varphi_1 \left[ x_e^{III} + r_\delta \cos \nu + A_u \right] - \cos \nu \left[ \right. \\ &\quad \left. - \cos \psi - \varphi_1 \left[ x_e^{III} - A_u + r_\delta \sin \nu \cos \gamma_u + x_e^{III} \operatorname{tg} \alpha_n \sin \gamma_u \right] \right]; \\ z^{III} &= -x_e^{III} - A_u + r_\delta \sin \nu \sin \gamma_u + x_e^{III} \operatorname{tg} \alpha_n \cos \gamma_u - p\psi. \end{aligned} \right\} (16)$$

$$\left. \begin{aligned} e_x^{III} &= \sin \alpha_n \cos \nu \cos \psi - \varphi_1 \sin \psi - \varphi_1 \sin \alpha_n \sin \nu \cos \gamma_u - \cos \alpha_n \sin \gamma_u \\ e_y^{III} &= -\sin \alpha_n \cos \nu \sin \psi - \varphi_1 \cos \psi - \varphi_1 \sin \alpha_n \sin \nu \cos \gamma_u - \cos \alpha_n \sin \gamma_u \\ e_z^{III} &= -\sin \alpha_n \sin \nu \sin \gamma_u - \cos \alpha_n \cos \gamma_u. \end{aligned} \right\} (17)$$

Используя уравнение (6.5) [2] и зависимости (12-17), получим уравнения зацепления червяка и червячного колеса:

- область I и II

$$F_2^I(\mathcal{G}, \nu, \psi, \varphi_1) = -M \sin b_i + \cos d_i + N \cos \mathcal{G} \cos \gamma_u + \sin \mathcal{G} \sin \nu \sin \gamma_u - p \psi \cos \mathcal{G} \sin \gamma_u - \sin \mathcal{G} \sin \nu \cos \gamma_u \sin \psi - \varphi_1 + \sin \mathcal{G} \cos \nu \cos \psi - \varphi_1 = 0; (18)$$

- переходная область III

$$F_2^{III}(\mathcal{G}, \nu, \psi, \varphi_1) = M x_e^{III} + \operatorname{tg}^2 \alpha_n A_u + r_d + N \cos \gamma_u + \operatorname{tg} \alpha_n \sin \nu \sin \gamma_u - p \psi \sin \gamma_u - \operatorname{tg} \alpha_n \sin \nu \cos \gamma_u \sin \psi - \varphi_1 + \operatorname{tg} \alpha_n \cos \nu \cos \psi - \varphi_1 = 0; (19)$$

где

$$M = \cos \nu \cos \gamma_u \cos \psi - \varphi_1 \sin \nu \sin \psi - \varphi_1;$$

$$N = A_u \cos \psi - \varphi_1 + A - \frac{p}{i_{21}}$$

$i = 1, 2$ ;  $A$  – межосевое расстояние червячной передачи;  $i_{21}$  – передаточное число червячной передачи.

Для улучшения качества зацепления передачи необходимо исключить из рабочей области зацепления нижние узловые точки для области III (головки) витков червяка, которые, согласно уравнениям (14-16) [3] определяются из зависимостей

$$\operatorname{tg} \nu = \frac{\cos(\psi - \varphi_1) \cos \gamma_u + \sin \gamma_u \operatorname{ctg} \lambda_n}{\sin(\psi - \varphi_1)}, (20)$$

$$\operatorname{ctg} \mathcal{G} = \frac{\sin \nu \cos \gamma_u - \cos \nu \operatorname{ctg}(\psi - \varphi_1)}{\sin \gamma_u}, (21)$$

$$r_n + A_u \cos(\psi - \varphi_1) + (\rho_2 \sin \mathcal{G} - d_2) \cos \nu \sin \gamma_u [\cos(\psi - \varphi_1) \sin \gamma_u - \cos \gamma_u \operatorname{ctg} \lambda_n] + (\rho_2 \cos \mathcal{G} + b_2) \operatorname{ctg} \nu \sin \gamma_u [\cos(\psi - \varphi_1) \cos \gamma_u + \sin \gamma_u \operatorname{ctg} \lambda_n] = 0. (22)$$

В качестве примера рассмотрим представленные на рис. 3 и 4 проекции

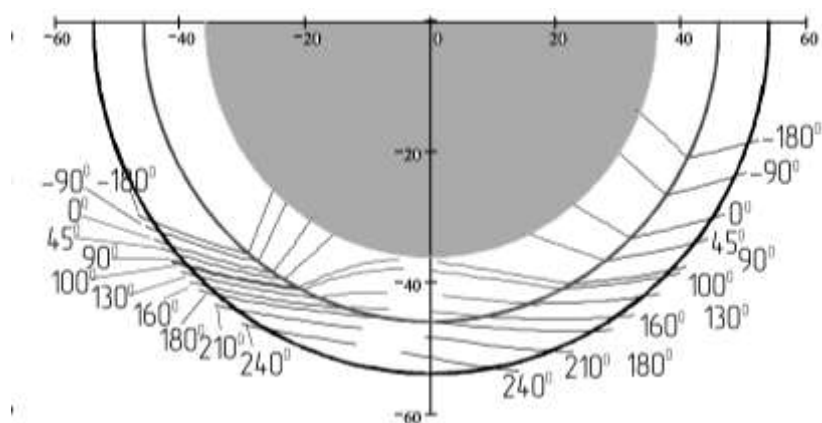


Рис. 3

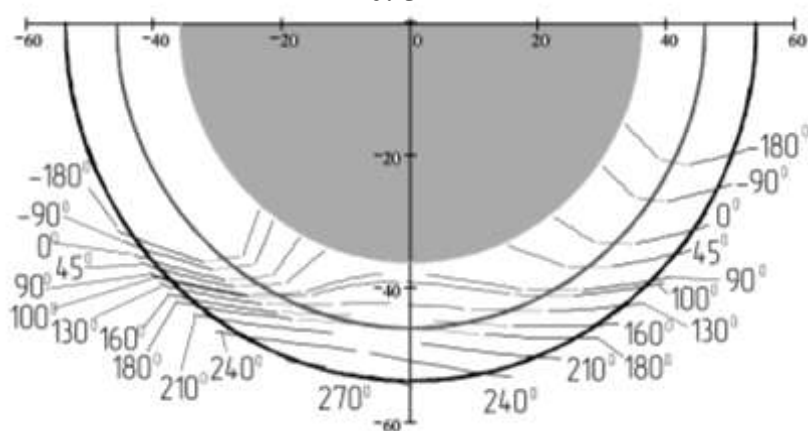


Рис. 4

линий зацепления червяка и червячного колеса при следующих параметрах:

$$m_{oc1} = 8 \text{ мм}, A_u = 202 \text{ мм}, \alpha_n = 20^\circ, z_1 = 3, z_2 = 31, r_d = r_n = \rho_1 = \rho_2 = 46 \text{ мм}.$$

На рис. 3 представлены проекции линий зацепления для передачи без переходного участка –  $\alpha_1^* = \alpha_2^* = 0^\circ$ , а на рис. 4 проекции линий для передачи с переходным участком –  $\alpha_1^* = \alpha_2^* = 3^\circ$ .

Полученные зависимости позволяют определять геометрию витков червяка, положение узловых точек передачи, определить линии зацепления червяка и червячного колеса. Их можно использовать для дальнейшего анализа качественных показателей червячных передач со шлифованными червяками выпукло-вогнутого профиля, таких как относительная скорость, приведенная кривизна, суммарная скорость, угол между вектором относительной скорости и направлением контактной линии и другие.

**Список литературы:** 1. Литвин Ф.Л. Теория зубчатых зацеплений. – М.: Наука, 1968. – 584 с. 2. Литвин Ф.Л. Новые виды червячных передач. М.-Л., Машгиз, 1962, 103 с. 3. Шишов В.П., Мазнев Е.А. Геометрия червячных передач со шлифованными червяками произвольного профиля // Збірник наукових праць Луганського національного аграрного університету. Серія: Технічні науки. – Луганськ: Видавництво ЛАНУ, 203. №31(43). – С.223-228.



